

Неравновесная динамика квантового спинового стекла в переменном магнитном поле

© Г. Бузиелло, Р.В. Сабурова*, В.Г. Сушкова*, Г.П. Чугунова**

Dipartimento di Fisica „E.R. Caianiello“, Università di Salerno,
84081 Baronissi — Salerno and INFM — Unità di Salerno, Salerno, Italy

* Казанский государственный энергетический университет,
620066 Казань, Россия

** Казанский государственный технологический университет,
420015 Казань, Россия

(Поступила в Редакцию 23 июня 2003 г.)

Развивается аналитический метод изучения эффекта старения в неупорядоченной квантовой системе, находящейся в контакте с внутренним окружением и подверженной действию внешнего переменного поля. Диссипация включается посредством связи системы с набором независимых гармонических осцилляторов, имитирующих квантовую тепловую баню. С помощью формализма интегралов по замкнутым траекториям выводятся динамические уравнения для автокорреляционной функции и функции линейного отклика. Исследуется влияние внешнего поля на поведение корреляции и отклика в спин-стекольной и парамагнитной фазах. Обнаружена зависимость обеих функций от величины спинового взаимодействия.

Работа выполнена при частичной финансовой поддержке Российского фонда фундаментальных исследований (грант № 01-02-16368).

1. Введение

Исследование диссипативных эффектов в неравновесной динамике квантовых стекол началось недавно [1]. В настоящее время в квантовых спиновых стеклах интенсивно исследуется роль квантовых флуктуаций [1–6]. Влияние внешнего переменного возмущения на неравновесную динамику квантовых спиновых стекол теоретически еще не рассматривалось. Для классической модели спинового стекла влияние зависящей от времени внешней силы рассмотрено в работе [7], в которой показано, что эффект старения (зависимость скорости релаксации от времени ожидания или „возраста“ системы) прослеживается в слабом возмущающем внешнем поле.

Мы изучаем неравновесную динамику квантового спинового стекла, связанного с внутренним окружением (баней) и внешним периодическим полем. Используются замкнутые динамические уравнения для симметризованной автокорреляционной функции и функции линейного отклика, аналогичные полученным в [8]; они решаются численно для разных констант спинового взаимодействия, разных констант связи с баней и различных амплитуд и частот внешнего поля. Рассматривается p -спиновая сферическая модель в приближении среднего поля.

При измерениях магнитной восприимчивости в переменном внешнем магнитном поле, выполняемых в спиновых стеклах, наблюдается эффект старения, магнитный отклик системы на малое внешнее поле зависит от тепловой истории образца, т.е. от временного интервала, в течение которого система находится при постоянной температуре в фазе спинового стекла. Рассмотрим следующую постановку эксперимента. Образец охлаждается бесконечно быстро в нулевом постоянном

внешнем магнитном поле от температуры $T > T_g$ (T_g — температура фазового перехода в спин-стекольную фазу) до температуры $T_1 < T_g$ в момент времени t , который принимаем равным нулю. В этот момент к образцу прикладывается малое внешнее магнитное осциллирующее поле $h(t)$. Эволюция системы происходит в изотермических условиях и магнитная восприимчивость измеряется при фиксированной угловой частоте ω как функция времени t , прошедшего с момента достижения образцом температуры T_1 , т.е. с момента $t = 0$ [1,9].

Отметим, что функция корреляции $C(t, t')$ системы может служить мерой того, как быстро система теряет память о своей предыстории и, следовательно, убывает на больших временах. Чтобы узнать, как система реагирует на внешнее возмущение, вводится функция отклика, связанная с восприимчивостью системы. Аналогично функции корреляции функция отклика убывает с увеличением времени, поскольку влияние возмущения постепенно забывается системой, находящейся в контакте с тепловой баней. Между откликом и корреляцией есть существенное отличие. Корреляцию двух наблюдаемых величин можно вычислить в любые произвольные моменты времени, в то время как отклик до начала воздействия внешнего возмущения равен нулю. Несмотря на это различие корреляцию и отклик можно изучать на равных условиях.

В рассматриваемой модели квантового спинового стекла, связанного с окружением и находящегося в переменном внешнем магнитном поле, можно ожидать проявления неравновесной динамики, в том числе эффекта старения.

В настоящей работе описывается модель спинового стекла и получены связанные динамические уравнения движения для функций корреляции и отклика системы. Дано численное решение уравнений, их анализ, обсуждение результатов работы и заключение.

2. Модель

Рассматривается квантовая система, состоящая из N взаимодействующих между собой спинов, связанная с баней из независимых квантовых гармонических осцилляторов и находящаяся под действием внешнего переменного магнитного поля. Гамильтониан этой связанной системы дается следующим выражением:

$$\mathcal{H} = \mathcal{H}_S + \mathcal{H}_B + \mathcal{H}_{SB} + \mathcal{H}_{SF}, \quad (1)$$

где \mathcal{H}_S — гамильтониан системы, \mathcal{H}_B — гамильтониан бани, \mathcal{H}_{SB} — гамильтониан взаимодействия системы и бани, \mathcal{H}_{SF} — гамильтониан взаимодействия системы и внешнего переменного поля,

$$\mathcal{H}_S = \frac{m}{2} \sum_{i=1}^N \dot{\sigma}_i^2 + V, \quad (2)$$

$$\mathcal{H}_B = \frac{1}{2} \sum_{l=1}^{N_b} \left(\frac{p_l^2}{m_l} + m_l \omega_l x_l^2 \right), \quad (3)$$

$$\mathcal{H}_{SB} = - \sum_{i,l} C_{i,l}^j x_l \sigma_i, \quad (4)$$

$$\mathcal{H}_{SF} = -h(t) \sum_{i=1}^N \sigma_i, \quad h(t) = h_t \cos \omega_0 t, \quad (5)$$

где m — масса объекта со спином σ_i , точка обозначает производную по времени; V — потенциал спинового взаимодействия; N_b — число осцилляторов; x_l и p_l — координата и импульс l -го осциллятора; m_l и ω_l — масса и угловая частота осциллятора. Бана представляет собой фононы решетки. $C_{i,l}^j$ — константа связи между i -м спином и l -м осциллятором. Внешнее магнитное переменное поле $h(t)$ характеризуется своей амплитудой (в энергетических единицах) h_t и угловой частотой ω_0 . Мы пренебрегаем взаимодействием между баней и внешним переменным полем. Переменное поле будем считать достаточно малым. Рассмотрим диагональное p -спиновое взаимодействие вида

$$V = \sum_{i_1 < \dots < i_p} J_{i_1 \dots i_p} \sigma_{i_1}^z \dots \sigma_{i_p}^z, \quad (6)$$

где параметр $p \geq 2$, $J_{i_1 \dots i_p}$ являются случайными переменными спиновой связи с гауссовским распределением с нулевым средним и дисперсией $(J_{i_1 \dots i_p})^2 = \tilde{J}^2 p! / (2N^{p-1})$, где черта сверху обозначает усреднение по беспорядку. Эта модель в классическом случае хорошо изучена в работах [10–12].

Ограничимся рассмотрением случая $p = 3$. Модель, описываемая (2)–(6), предполагает наличие динамического фазового перехода, разделяющего две фазы: упорядоченную фазу (спиновое стекло) и неупорядоченную (парамагнитную) фазу.

3. Формализм интегралов по замкнутым траекториям

Далее используем квантовую теорию поля [13]. Пусть $\xi^+(t)$, $\xi^-(t)$ — N -векторные внешние источники, где знак „+“ означает, что берется значение на положительной ветке временного контура (идущей из 0 в $+\infty$), знак „–“ соответственно относится к отрицательной ветке (идущей в обратном направлении из $+\infty$ в 0); степени свободы описываются полем $\phi = (\phi_1(t), \dots, \phi_N(t))$ в гейзенберговском представлении [14,15]. Производящий функционал имеет вид [16]

$$Z[\xi^+, \xi^-] = \text{Tr} \left[T^* \exp \left(-\frac{i}{\hbar} \int_0^\infty dt \xi^-(t) \phi(t) \right) \times T \exp \left(-\frac{i}{\hbar} \int_0^\infty dt \xi^+(t) \phi(t) \right) \hat{\rho}(0) \right], \quad (7)$$

где T означает упорядоченное по времени произведение, определяемое обычным образом, T^* означает произведение, упорядоченное по обращенному времени, $\hat{\rho}(t_0)$ — матрица плотности в начальный момент времени t_0 (положим $t_0 = 0$). Усреднение по ансамблю любого оператора производится как обычно

$$\langle A(t) \rangle = \frac{\text{Tr} [A(t) \hat{\rho}(0)]}{\text{Tr} \hat{\rho}(0)}. \quad (8)$$

Симметризованная корреляционная функция $C_{ij}(t, t')$ определяется через производящий функционал как

$$C_{ij}(t, t') \equiv \frac{1}{2} \langle \phi_i(t) \phi_j(t') + \phi_j(t') \phi_i(t) \rangle = \frac{\hbar^2}{2} \left[\frac{\delta^2}{\delta \xi_i^+(t) \delta \xi_j^-(t')} + \frac{\delta^2}{\delta \xi_j^+(t) \delta \xi_i^-(t')} \right] \ln Z \Big|_{\xi=0}, \quad (9)$$

функция отклика $R_{ij}(t, t')$ на внешнее периодическое возмущение h_t определяется как

$$R_{ij}(t, t') \equiv \frac{\delta \langle \phi_i(t) \rangle}{\delta h_j(t')} \Big|_{h=0}. \quad (10)$$

Используя теорию линейного отклика, можно записать

$$R_{ij}(t, t') = \frac{i}{\hbar} \theta(t - t') \langle [\phi_i(t), \phi_j(t')] \rangle = \frac{\hbar}{i} \left[\frac{\delta^2}{\delta \xi_i^+(t) \delta \xi_j^+(t')} + \frac{\delta^2}{\delta \xi_j^+(t) \delta \xi_i^-(t')} \right] \ln Z \Big|_{\xi=0}. \quad (11)$$

Производящий функционал (7) позволяет провести преобразования, аналогичные тем, которые проводятся в динамике классической системы [17]. Тогда можно

записать

$$Z[\xi^+, \xi^-] = \int \mathcal{D}\phi^+ \mathcal{D}\phi^- \exp \left[\frac{i}{\hbar} \left(S[\phi^+] - S[\phi^-] + \int dt \xi^+(t) \phi^+(t) - \int dt \xi^-(t) \phi^-(t) \right) \right] \langle \phi^+ | \hat{\rho}(0) | \phi^- \rangle, \quad (12)$$

где $\mathcal{D}\phi^+ \mathcal{D}\phi^-$ означает $\int_{-\infty}^{+\infty} \prod_{i,t} [d\phi_i^+(t) d\phi_i^-(t)]$, $\mathcal{D}\phi^+$ и $\mathcal{D}\phi^-$ — функциональные меры, означающие интегрирование по всем траекториям. В (12) опускаем пределы у временных интегралов, везде подразумевая, что интегрирование идет от $t_0 = 0$ до ∞ . $S[\phi]$ — действие системы, $\langle \phi^+ | \hat{\rho}(0) | \phi^- \rangle$ — матричный элемент матрицы плотности. В терминах полей ϕ^+ и ϕ^- функции корреляции и отклика запишутся как

$$C_{ij}(t, t') = \frac{1}{2} \langle \phi_i^+(t) \phi_j^-(t') + \phi_j^+(t') \phi_i^-(t) \rangle, \quad (13)$$

$$R_{ij}(t, t') = \frac{i}{\hbar} \langle \phi_i^+(t) [\phi_j^+(t') - \phi_j^-(t')] \rangle. \quad (14)$$

Взаимодействие между системой и баней в формализме интегралов по траекториям [18] описывается с помощью переменных $\phi = (\sigma, \mathbf{v}_l)$, где $\sigma = (\sigma_1, \dots, \sigma_N)$ — переменные системы, $\mathbf{v}_l = (v_{1l}, \dots, v_{N_b l})$, $l = 1, \dots, N_b$, — переменные бани. Полное действие S , которое состоит из действия спиновой системы, действия бани и действий система–баня и система–переменное поле, равно

$$S[\phi] = S_S[\sigma] + S_B[\mathbf{v}_l] + S_{SB}[\sigma, \mathbf{v}_l] + S_{SF}[\sigma] \\ = S_S[\sigma] + \frac{1}{2} \sum_{l=1}^{N_b} m_l (\dot{\mathbf{v}}_l^2 - \omega_l^2 \mathbf{v}_l^2) - \sum_{l=1}^{N_b} C_l \mathbf{v}_l \sigma - h(t) \sum_{i=1}^N \sigma_i. \quad (15)$$

Действие системы $S_S[\sigma, J]$ равно

$$S_S[\sigma, J] = S_0[\sigma] - \int dt V[\sigma, J]. \quad (16)$$

Та часть действия, которая не зависит от беспорядка, равна

$$S_0[\sigma, J] = \int dt \left[\frac{m}{2} \dot{\sigma}^2 - \frac{z}{2} (\sigma^2 - N) \right], \quad (17)$$

где z — зависящий от времени множитель Лагранжа, который обеспечивает выполнение сферического ограничения $\sum_{i=1}^N \sigma_i^2(t) = N$ в любой момент времени.

В нашей модели для гауссовского потенциального члена $V[\sigma, J]$ имеем

$$\overline{V[\sigma, J] V[\sigma', J]} = -\frac{N}{2} \mathcal{V} \left(\frac{(\sigma - \sigma')^2}{N} \right), \quad (18)$$

$$P[J] = \sqrt{\frac{N^{p-1}}{\tilde{J}^2 \pi^p}} \exp \left(-\frac{N^{p-1}}{\tilde{J}^2 p!} \sum_{i_1 \neq \dots \neq i_p} (J_{i_1 \dots i_p})^2 \right) \Rightarrow \overline{(J_{i_1 \dots i_p})^2} \\ = \frac{\tilde{J}^2 p!}{2N^{p-1}}. \quad (19)$$

Это соответствует потенциальной случайной корреляции $\mathcal{V}(x) = -(1-x/2)^p/2$ и приводит к эффективному, нелокальному во времени взаимодействию между спинами [19]

$$V_D[\sigma^+, \sigma^-] = \frac{\tilde{J}^2 N i}{4\hbar} \int dt \int dt' \left[\left(\frac{1}{N} \sigma^+(t) \sigma^+(t') \right)^p + \left(\frac{1}{N} \sigma^-(t) \sigma^-(t') \right)^p - \left(\frac{1}{N} \sigma^+(t) \sigma^-(t') \right)^p - \left(\frac{1}{N} \sigma^-(t) \sigma^+(t') \right)^p \right], \quad (20)$$

σ_i являются непрерывными динамическими переменными $-\sqrt{N} < \sigma_i < \sqrt{N}$ для всех i , которые удовлетворяют сферическому ограничению

$$\frac{1}{N} \sigma^2(t) = \frac{1}{N} \sum_{i=1}^N \sigma_i^2(t) = 1 \quad (21)$$

в каждый момент времени. Введение зависящего от времени множителя Лагранжа $z(t)$ осуществляет выполнение сферического ограничения.

Можно рассматривать и другие типы связи между баней и системой, отличные от (15); мы выбрали простейший случай. Если предположить, что начальная матрица плотности $\hat{\rho}(0) = \hat{\rho}_S(0) \hat{\rho}_B(0)$, где $\hat{\rho}_B(0)$ — бальцмановское распределение для переменных бани в равновесии при температуре $k_B T = 1/\beta$, то можно, проинтегрировав по переменным бани, получить эффективное тепловое действие $S_T[\sigma^+, \sigma^-]$, которое входит в функционал влияния Фейнмана–Вернона

$$S_T[\sigma^+, \sigma^-] = - \int dt \int dt' (\sigma^+(t) - \sigma^-(t)) \\ \times \eta(t-t') (\sigma^+(t) + \sigma^-(t)) + i \int dt \int dt' (\sigma^+(t) \\ \times -\sigma^-(t)) \nu(t-t') (\sigma^+(t) - \sigma^-(t)), \quad (22)$$

где шумовое и диссипативное ядра ν и η задаются в виде

$$\nu(t-t') = \int_0^\infty d\omega I(\omega) \operatorname{cth} \left(\frac{1}{2} \beta \hbar \omega \right) \cos(\omega(t-t')), \quad (23)$$

$$\eta(t-t') = -\theta(t-t') \int_0^\infty d\omega I(\omega) \sin(\omega(t-t')). \quad (24)$$

Спектральная плотность бани $I(\omega)$ определяется следующим выражением:

$$I(\omega) = 2\alpha \hbar (\omega/\omega_c)^{s-1} \omega \exp(-\omega/\omega_c), \quad (25)$$

где α — безразмерная константа связи системы с баней, ω_c — высокочастотное обрезание, $0 < s < 2$. Рассмотрим омическую баню, когда $s = 1$. При малых α

(например, $\alpha = 0.2$) имеем парамагнитную фазу, а при $\alpha = 1$ — фазу спинового стекла [19]. При изучении неупорядоченных систем величины необходимо усреднить по беспорядку с распределением $P[J]$.

Рассмотрим динамику в реальном времени с некоторым случайным начальным условием в момент $t_0 = 0$, когда система приводится в контакт с баней и прикладывается внешнее переменное поле. Это условие не зависит от беспорядка, поэтому $\hat{\rho}$ также не зависит от беспорядка и, следовательно, производящий функционал в отсутствие источников и поля $h(t)$ тоже не зависит от беспорядка: $Z[\xi^+ = 0, \xi^- = 0, J] = \text{Tr}[\hat{\rho}(0)]$. Как и в классическом случае, возможно записать динамические уравнения со случайными начальными условиями, не вычисляя среднее по беспорядку от $\ln Z[\xi^+, \xi^-, J]$ и не используя метод реплик. С помощью усредненного производящего функционала

$$\overline{Z[\xi^+, \xi^-]} = \int dJ P[J] Z[\xi^+, \xi^-, J] \quad (26)$$

получаем следующее среднее значение для любого оператора $\sigma(t)$:

$$\begin{aligned} \overline{\langle \sigma(t) \rangle} &\equiv \left. \frac{\delta \ln Z[\xi^+, \xi^-, J]}{\delta \xi^+(t)} \right|_{\xi=0, h=0} \\ &= \frac{1}{Z[0, 0, J]} \left. \frac{\delta Z[\xi^+, \xi^-, J]}{\delta \xi^+(t)} \right|_{\xi=0, h=0} \\ &= \frac{1}{Z[0, 0, J]}, \end{aligned} \quad (27)$$

черта сверху означает усреднение по беспорядку.

Таким образом, наша система описывается следующим производящим функционалом:

$$\begin{aligned} \overline{Z[\xi^+, \xi^-, J]} &= \int \mathcal{D}\sigma^+ \mathcal{D}\sigma^- \exp \left[\frac{i}{\hbar} \left(S_{\text{EFF}}[\sigma^+, \sigma^-] \right. \right. \\ &+ \int dt \xi^+(t) \sigma^+(t) - \int dt \xi^-(t) \sigma^-(t) \\ &\left. \left. + \int dt h^+(t) \sigma^+(t) - \int dt h^-(t) \sigma^-(t) \right) \right], \end{aligned} \quad (28)$$

где $S_{\text{EFF}}[\sigma^+, \sigma^-] = S_0[\sigma^+] - S_0[\sigma^-] + S_T[\sigma^+, \sigma^-]$. Квантовые динамические уравнения движения можно получить, выполняя преобразования, аналогичные классическому случаю в [17,20].

Далее введем макроскопические параметры порядка и с помощью приближения седловой точки производящего функционала Швингера-Келдыша (которое становится точным в приближении среднего поля при $N \rightarrow \infty$) получим динамические уравнения движения. Поскольку рассматривается динамика системы для больших, но конечных времен, ожидается появление неравновесных явлений.

3.1. Динамические параметры порядка. Введением оператора $\text{Op}(t, t')$ [19]

$$\text{Op}(t, t') = \begin{pmatrix} \text{Op}^{++}(t, t') & \text{Op}^{+-}(t, t') \\ \text{Op}^{-+}(t, t') & \text{Op}^{--}(t, t') \end{pmatrix} = \{\text{Op}^{\alpha\beta}(t, t')\}, \quad (29)$$

$$\text{Op}^{++}(t, t') = (m\partial_t^2 + z^+(t))\delta(t-t') - 2iv(t-t'),$$

$$\text{Op}^{+-}(t, t') = 2\eta(t-t') + 2iv(t-t'),$$

$$\text{Op}^{-+}(t, t') = -2\eta(t-t') + 2iv(t-t'),$$

$$\text{Op}^{--}(t, t') = (m\partial_t^2 + z^-(t))\delta(t-t') - 2iv(t-t'), \quad (30)$$

квадратичные члены в действии S_{EFF} можно собрать в одно слагаемое. В этом случае получаем

$$\begin{aligned} S_{\text{EFF}}[\sigma^+, \sigma^-] &= -\frac{1}{2} \int dt \int dt' \sigma^\alpha(t) \text{Op}^{\alpha\beta}(t, t') \sigma^\beta(t') \\ &- V_D[\sigma^+, \sigma^-], \end{aligned} \quad (31)$$

$\alpha, \beta = +, -$ и по повторяющимся индексам подразумевается суммирование. С помощью тождества

$$\begin{aligned} 1 &= \int \prod_{\alpha\beta} DQ^{\alpha\beta} \delta \left(\frac{1}{N} \sigma^\alpha(t) \sigma^\beta(t') - Q^{\alpha\beta} \right) \sim \int \prod_{\alpha\beta} DQ^{\alpha\beta} D\lambda^{\alpha\beta} \\ &\times \exp \left(-\frac{i}{2\hbar} \lambda^{\alpha\beta} (\sigma^\alpha(t) \sigma^\beta(t') - NQ^{\alpha\beta}(t, t')) \right), \end{aligned} \quad (32)$$

подставленного в производящий функционал, перепишем полное действие в виде

$$\begin{aligned} S &= S_{\text{EFF}} + \int dt \xi^+(t) \sigma^+(t) - \int dt \xi^-(t) \sigma^-(t) \\ &+ \int dt h^+(t) \sigma^+(t) - \int dt h^-(t) \sigma^-(t) = S_{\text{EFF}} + \int dt (\xi^+(t) \\ &+ h^+(t)) \sigma^+(t) - \int dt (\xi^-(t) + h^-(t)) \sigma^-(t), \end{aligned} \quad (33)$$

где

$$\begin{aligned} S_{\text{EFF}}[\sigma^+, \sigma^-] &= -\frac{1}{2} \int dt \int dt' \sigma^\alpha(t) (\text{Op}^{\alpha\beta}(t, t') \\ &+ \lambda^{\alpha\beta}(t, t')) \sigma^\beta(t') + \frac{N}{2} \int dt \int dt' \lambda^{\alpha\beta}(t, t') Q^{\alpha\beta}(t, t') \\ &+ \frac{N}{2} \int dt [z^+(t) - z^-(t)] + \frac{i\tilde{J}^2 N}{4\hbar} \int dt \int dt' [(Q^{++}(t, t'))^p \\ &+ (Q^{--}(t, t'))^p - (Q^{+-}(t, t'))^p - (Q^{-+}(t, t'))^p]. \end{aligned} \quad (34)$$

Значения параметров порядка $Q^{\alpha\beta}(t, t')$, $\alpha, \beta = +, -$ связаны с „критическими“ корреляциями и откликом, определенным в (13), (14) следующим образом:

$$NQ^{++}(t, t') = \overline{\langle \sigma^+(t)\sigma^+(t') \rangle}$$

$$= N \left(C(t, t') - \frac{i\hbar}{2} (R(t, t') + R(t', t)) \right), \quad (35)$$

$$NQ^{+-}(t, t') = \overline{\langle \sigma^+(t)\sigma^-(t') \rangle}$$

$$= N \left(C(t, t') + \frac{i\hbar}{2} (R(t, t') - R(t', t)) \right), \quad (36)$$

$$NQ^{-+}(t, t') = \overline{\langle \sigma^-(t)\sigma^+(t') \rangle}$$

$$= N \left(C(t, t') - \frac{i\hbar}{2} (R(t, t') - R(t', t)) \right), \quad (37)$$

$$NQ^{--}(t, t') = \overline{\langle \sigma^-(t)\sigma^-(t') \rangle}$$

$$= N \left(C(t, t') + \frac{i\hbar}{2} (R(t, t') + R(t', t)) \right), \quad (38)$$

и

$$NC(t, t') = \frac{1}{2} \sum_{i=1}^N \overline{\langle \sigma_i^+(t)\sigma_i^-(t') + \sigma_i^-(t)\sigma_i^+(t') \rangle}, \quad (39)$$

$$NR(t, t') = \frac{i}{\hbar} \sum_{i=1}^N \overline{\langle \sigma_i^+(t)(\sigma_i^+(t') + \sigma_i^-(t')) \rangle}. \quad (40)$$

Далее, проделывая вычисления, аналогичные [19], получим, что все члены в действии зависят от $\lambda^{\alpha\beta}$, $Q^{\alpha\beta}$ и z^α и пропорциональны N .

3.2. Вычисления седловой точки. Для удобства перепишем уравнения в матричном виде. Для этого введем две матрицы

$$\mathcal{L} = \begin{pmatrix} \lambda^{++} & \lambda^{+-} \\ \lambda^{-+} & \lambda^{--} \end{pmatrix}, \quad \mathcal{Q} = \begin{pmatrix} Q^{++} & Q^{+-} \\ Q^{-+} & Q^{--} \end{pmatrix} \quad (41)$$

и определим

$$F[\mathcal{Q}](t, t') \equiv \begin{pmatrix} (Q^{++}(t, t'))^{p-1} & (Q^{+-}(t, t'))^{p-1} \\ (Q^{-+}(t, t'))^{p-1} & (Q^{--}(t, t'))^{p-1} \end{pmatrix}. \quad (42)$$

Символом \otimes обозначим стандартное операторное произведение

$$A \otimes B(t, t') = \begin{pmatrix} \int dt'' A^{+\gamma}(t, t'') B^{\gamma+}(t'', t') & \int dt'' A^{+\gamma}(t, t'') B^{\gamma-}(t'', t') \\ \int dt'' A^{-\gamma}(t, t'') B^{\gamma+}(t'', t') & \int dt'' A^{-\gamma}(t, t'') B^{\gamma-}(t'', t') \end{pmatrix}, \quad (43)$$

где производится суммирование по γ .

В седловой точке уравнение для $\lambda^{\alpha\beta}(t, t')$ дает

$$\mathcal{L}(t, t') = \frac{\hbar}{2} \mathcal{Q}^{-1}(t, t') - \text{Op}(t, t'), \quad (44)$$

где через \mathcal{Q}^{-1} обозначен оператор, обратный к \mathcal{Q} .

В седловой точке уравнение для $Q^{\alpha\beta}(t, t')$ дает

$$\mathcal{L}(t, t') = -\frac{i p \tilde{J}^2}{2\hbar} F[\mathcal{Q}](t, t'). \quad (45)$$

Уравнения (44) и (45) можно записать в компактном виде

$$\frac{i}{\hbar} \text{Op} \otimes \mathcal{Q} = I - \frac{p \tilde{J}^2}{2\hbar^2} F[\mathcal{Q}] \otimes \mathcal{Q}, \quad (46)$$

где I — тождественный оператор: $I^{\alpha\beta}(t, t') = \delta^{\alpha\beta} \delta(t - t')$. Уравнение в седловой точке для z^α дает

$$\frac{i}{\hbar} = (\text{Op} + \mathcal{L})_{++}^{-1}(t, t') = \frac{i}{\hbar} \mathcal{Q}^{++}(t, t'), \quad (47)$$

$$\frac{i}{\hbar} = (\text{Op} + \mathcal{L})_{--}^{-1}(t, t') = \frac{i}{\hbar} \mathcal{Q}^{--}(t, t'), \quad (48)$$

эти уравнения приводят к сферическому ограничению.

4. Динамические уравнения для корреляции и отклика

Динамические уравнения для корреляционной функции и функции отклика выводятся из уравнений (42)–(46) и (35)–(38). Уравнение движения для функции отклика получается вычитанием $++$ и $+-$ компонент уравнения (46)

$$(m\partial_t^2 + z^+(t))R(t, t') + 4 \int_{t'}^t dt'' \eta(t - t'') R(t'', t') = \delta(t - t')$$

$$- \frac{p \tilde{J}^2}{2i\hbar} \int_0^\infty dt'' ((Q^{++}(t, t''))^{p-1} - (Q^{+-}(t, t''))^{p-1}) R(t'', t'), \quad (49)$$

уравнение движения для автокорреляционной функции следует из вычитания $+-$ и $-+$ компонент уравнения (46)

$$\left(m\partial_t^2 + \frac{1}{2} (z^+(t) + z^-(t)) \right) C(t, t')$$

$$+ \frac{i}{2} (z^+(t) - z^-(t)) \hbar (R(t, t') - R(t', t))$$

$$- 2\hbar \int_0^\infty dt'' v(t - t'') R(t', t'') + 4 \int_0^t dt'' \eta(t - t'') C(t'', t')$$

$$= -\frac{p \tilde{J}^2}{2\hbar} \int_0^\infty dt'' \text{Im} \left((Q^{++}(t, t''))^{p-1} Q^{+-}(t'', t') \right.$$

$$\left. - (Q^{+-}(t, t''))^{p-1} Q^{--}(t'', t') \right). \quad (50)$$

Динамические уравнения перепишем в более компактном виде

$$(m\partial_t^2 + z(t))R(t, t') = \delta(t - t') + \int_0^\infty dt'' \Sigma(t, t'')R(t'', t'), \quad (51)$$

$$(m\partial_t^2 + z(t))C(t, t') = \int_0^\infty dt'' \Sigma(t, t'')C(t'', t') + \int_0^{t'} dt'' D(t, t'')R(t', t''). \quad (52)$$

Эти уравнения дополняются одновременными условиями

$$C(t, t) = 1, \quad R(t, t) = 0, \quad (53)$$

$$\lim_{t' \rightarrow t^-} \partial_t R(t, t') = \frac{1}{m}, \quad \lim_{t' \rightarrow t^+} \partial_t R(t, t') = 0, \quad (54)$$

$$\lim_{t' \rightarrow t^-} \partial_t C(t, t') = \lim_{t' \rightarrow t^+} \partial_t C(t, t') = 0. \quad (55)$$

Из-за свойства причинности функции отклика имеем $R(t, t'')R(t'', t) = 0$. Как и в [19] собственно-энергетическая часть равна

$$\begin{aligned} \tilde{\Sigma}' &\equiv \Sigma(t, t') + 4\eta(t - t') \\ &= -\frac{p\tilde{J}^2}{\hbar} \text{Im} \left[C(t, t') - \frac{i\hbar}{2} R(t, t') \right]^{p-1}, \end{aligned} \quad (56)$$

вершинная часть равна

$$\begin{aligned} \tilde{D}' &\equiv D(t, t') - 2\hbar\nu(t - t') = \frac{p\tilde{J}^2}{2} \\ &\times \text{Re} \left[C(t, t') - \frac{i\hbar}{2} (R(t, t') + R(t', t)) \right]^{p-1}. \end{aligned} \quad (57)$$

Отметим, что собственно-энергетическая часть Σ и вершинная D являются вещественными и состоят из членов, имеющих разное происхождение: одни члены получаются в результате взаимодействия системы и бани (η и ν), другие вызваны нелинейностью, происходящей из усреднения по беспорядку (они обозначены как $\tilde{\Sigma}'$ и \tilde{D}' в (56) и (57)). Если $p = 2$, то $\tilde{\Sigma}'$ и \tilde{D}' совпадают со своими классическими двойниками. В случае $p \geq 3$ нелинейные члены имеют явную зависимость от \hbar .

Мнимая часть уравнения (50) дает

$$z(t) \equiv z^+(t) = z^-(t), \quad (58)$$

тогда уравнение для z принимает вид

$$\begin{aligned} z(t) &= \int_0^t dt'' (\Sigma(t, t'')C(t, t'') + D(t, t'')R(t, t'')) \\ &+ m \int_0^t dt'' \int_0^t dt''' [\partial_t R(t, t'')] D(t'', t''') [\partial_t R(t, t''')]. \end{aligned} \quad (59)$$

Итак, уравнения (51), (52) и (59) представляют собой полный набор уравнений, определяющих динамику системы.

В дальнейшем можно использовать безразмерные переменные, которые определяются измерением энергии в единицах \tilde{J} и времени в единицах \hbar/\tilde{J} . Тогда сила квантового туннелирования будет измеряться параметром $\Gamma \equiv \hbar^2/(\tilde{J}M)$. Сделаем перенормировку реального времени и других параметров, входящих в квантовые динамические уравнения для корреляции и отклика. При этом $t \rightarrow (\tilde{J}/\hbar)t$, симметризованная функция корреляции не изменится, а функция отклика трансформируется как $R \rightarrow \hbar R$. После такой перенормировки динамические уравнения имеют такой же вид, как и до преобразования, с M , замененной на Γ^{-1} . Таким образом, после перенормировки имеем

$$(\Gamma^{-1}\partial_t^2 + \tilde{z}(\tilde{t}))\tilde{R}(\tilde{t}, \tilde{t}') = \delta(\tilde{t} - \tilde{t}') + \int_0^\infty d\tilde{t}'' \tilde{\Sigma}(\tilde{t}, \tilde{t}'')\tilde{R}(\tilde{t}'', \tilde{t}'), \quad (60)$$

$$\begin{aligned} (\Gamma^{-1}\partial_t^2 + \tilde{z}(\tilde{t}))\tilde{C}(\tilde{t}, \tilde{t}') &= \int_0^\infty d\tilde{t}'' \tilde{\Sigma}(\tilde{t}, \tilde{t}'')\tilde{C}(\tilde{t}'', \tilde{t}') \\ &+ \int_0^{\tilde{t}'} d\tilde{t}'' \tilde{D}(\tilde{t}, \tilde{t}'')\tilde{R}(\tilde{t}'', \tilde{t}') \\ &+ \tilde{h}_t^2 \cos(\tilde{\omega}\tilde{t}) \int_0^{\tilde{t}'} d\tilde{t}'' \cos(\tilde{\omega}\tilde{t}'')\tilde{R}(\tilde{t}'', \tilde{t}'), \end{aligned} \quad (61)$$

$$\begin{aligned} \tilde{z}(\tilde{t}) &= \int_0^{\tilde{t}} d\tilde{t}'' [\tilde{\Sigma}(\tilde{t}, \tilde{t}'')\tilde{C}(\tilde{t}, \tilde{t}'') + \tilde{D}(\tilde{t}, \tilde{t}'')\tilde{R}(\tilde{t}, \tilde{t}'')] \\ &- \Gamma^{-1}\partial_t^2 \tilde{C}(\tilde{t}, \tilde{t}') \Big|_{\tilde{t}' \rightarrow \tilde{t}^-} + \int_0^{\tilde{t}} d\tilde{t}'' \cos(\tilde{\omega}\tilde{t}'')\tilde{R}(\tilde{t}, \tilde{t}''), \end{aligned} \quad (62)$$

$$\tilde{\Sigma}(\tilde{t}, \tilde{t}') = -4\tilde{\eta}(\tilde{t} - \tilde{t}') - p \text{Im} \left[\tilde{C}(\tilde{t}, \tilde{t}') - \frac{i}{2} \tilde{R}(\tilde{t}, \tilde{t}') \right]^{p-1}, \quad (63)$$

$$\begin{aligned} \tilde{D}(\tilde{t}, \tilde{t}') &= 2\tilde{h}\tilde{\nu}(\tilde{t} - \tilde{t}') \\ &+ \frac{p}{2} \text{Re} \left[\tilde{C}(\tilde{t}, \tilde{t}') - \frac{i}{2} (\tilde{R}(\tilde{t}, \tilde{t}') + \tilde{R}(\tilde{t}', \tilde{t})) \right]^{p-1}, \end{aligned} \quad (64)$$

$$\tilde{\eta}(\tilde{t} - \tilde{t}') = -\theta(\tilde{t} - \tilde{t}') \int_0^\infty d\tilde{\omega} \tilde{I}(\tilde{\omega}) \sin(\tilde{\omega}(\tilde{t} - \tilde{t}')), \quad (65)$$

$$\tilde{\nu}(\tilde{t} - \tilde{t}') = \frac{1}{\hbar} \int_0^\infty d\tilde{\omega} \tilde{I}(\tilde{\omega}) \text{cth} \left(\frac{\beta\tilde{J}\tilde{\omega}}{2} \right) \cos(\tilde{\omega}(\tilde{t} - \tilde{t}')), \quad (66)$$

$$\tilde{I}(\tilde{\omega}) = 2\alpha \left(\frac{\tilde{\omega}}{\tilde{\omega}_{\text{ph}}} \right)^{s-1} \tilde{\omega} \exp \left(-\frac{\tilde{\omega}}{\tilde{\omega}_c} \right), \quad (67)$$

где $\tilde{h}_t = h_t/\tilde{J}$, $\tilde{\omega} = \omega\hbar/\tilde{J}$, $\tilde{\omega}_{\text{ph}} = \omega_{\text{ph}}\hbar/\tilde{J}$, $\tilde{\omega}_c = \omega_c\hbar/\tilde{J}$, $\tilde{t} = \tilde{J}t/\hbar$. После перенормировки одновременные усло-

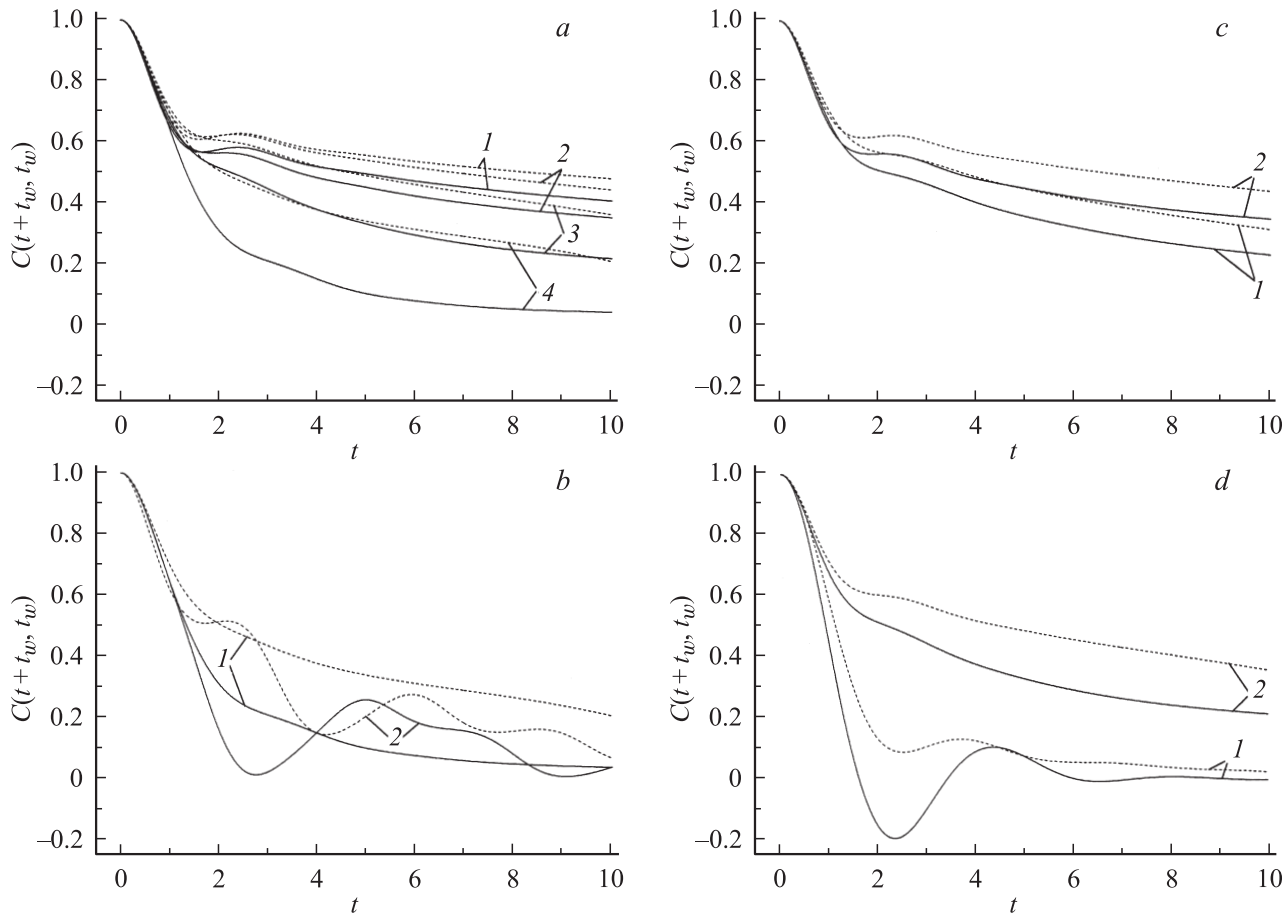


Рис. 1. *a* — зависимость симметризованной корреляционной функции $C(t + t_w, t_w)$ от времени t при различных амплитудах поля h_t ($h_t = 0$ — 1, $h_t = 0.5$ — 2, $h_t = 1$ — 3, $h_t = 2$ — 4), различных временах ожидания t_w ($t_w = 5$ — сплошные линии, $t_w = 10$ — штриховые линии) и для $\alpha = 1$, $\tilde{J} = 1$, $\Gamma = 1$, $T = 0.5$, $\omega_c = 0.1$. *b* — зависимость $C(t + t_w, t_w)$ от t при различных частотах ω_0 ($\omega_0 = 0.1$ — 1, $\omega_0 = 1$ — 2), t_w ($t_w = 5$ — сплошные линии, $t_w = 10$ — штриховые линии) и для $\alpha = 1$, $\tilde{J} = 1$, $\Gamma = 1$, $T = 0.5$, $\omega_c = 5$, $h_t = 2$. *c* — зависимость $C(t + t_w, t_w)$ от t при различных константах спинного взаимодействия \tilde{J} ($\tilde{J} = 0.5$ — 1, $\tilde{J} = 1$ — 2), различных t_w ($t_w = 5$ — сплошные линии, $t_w = 10$ — штриховые линии) и для $\alpha = 1$, $\Gamma = 1$, $T = 0.5$, $\omega_c = 5$, $h_t = 0.1$. *d* — зависимость $C(t + t_w, t_w)$ от t при различных константах связи с баней α ($\alpha = 0.2$ — 1, $\alpha = 1$ — 2), различных t_w ($t_w = 5$ — сплошные линии, $t_w = 10$ — штриховые линии) и для $\tilde{J} = 1$, $\Gamma = 1$, $T = 0.5$, $\omega_c = 5$, $h_t = 1$, $\omega_0 = 0.1$.

вия (53)–(55) не изменятся, кроме одного, которое примет вид

$$\lim_{t' \rightarrow t^-} \partial_t \tilde{R}(\vec{r}, \vec{r}') = \Gamma. \quad (68)$$

В дальнейшем будем опускать тильду у функций и их аргументов, поскольку будем исследовать только перенормированные уравнения.

Рассмотрим поведение автокорреляционной функции и функции отклика в фазе спинного стекла ($\alpha = 1$) и в парафазе ($\alpha = 0.2$). Сначала рассмотрим поведение системы при $\alpha = 1$ в переменном поле, т.е. меняем значения амплитуды h_t и угловой частоты ω_0 поля. Мы выбрали следующие параметры: $T = 0.5$, $\Gamma = 1$, $\tilde{J} = 1$, $\omega_c = 5$ и времена ожидания $t_w = 5$ и 10.

Численный расчет выполнен с помощью интерполяционного алгоритма с шагом $h = 0.01$. Результаты представлены на рис. 1 и 2, где показано влияние внешнего переменного поля на поведение $C(t + t_w, t_w)$

и $R(t + t_w, t_w)$, зависимость $C(t + t_w, t_w)$ и $R(t + t_w, t_w)$ от времени ожидания (эффект старения), поведение $C(t + t_w, t_w)$ и $R(t + t_w, t_w)$ в фазе спинного стекла и парамагнитной фазе.

На рис. 1, *a* показано поведение автокорреляционной функции $C(t + t_w, t_w)$ в зависимости от времени t для двух значений времени ожидания: $t_w = 5$ и $t_w = 10$ при $\alpha = 1$, $T = 0.5$, $\Gamma = 1$, $\tilde{J} = 1$, $\omega_c = 5$, $\omega = 0.1$; амплитуда переменного поля меняется: $h_t = 0, 0.5, 1, 2$. Кривые $C(t + t_w, t_w)$ обнаруживают на малых временах t достаточно быстрый спад, причем начальное значение $C(t + t_w, t_w) = 1$ при $t = 0$. Затем наблюдается медленное плавное затухание к ненулевому значению. При большой частоте затухание сопровождается заметными осцилляциями. Необходимо отметить медленную, зависящую от времени ожидания, динамику, характерную для режима старения на больших временах. Зависимость $C(t + t_w, t_w)$ от внешнего поля начинает проявляться

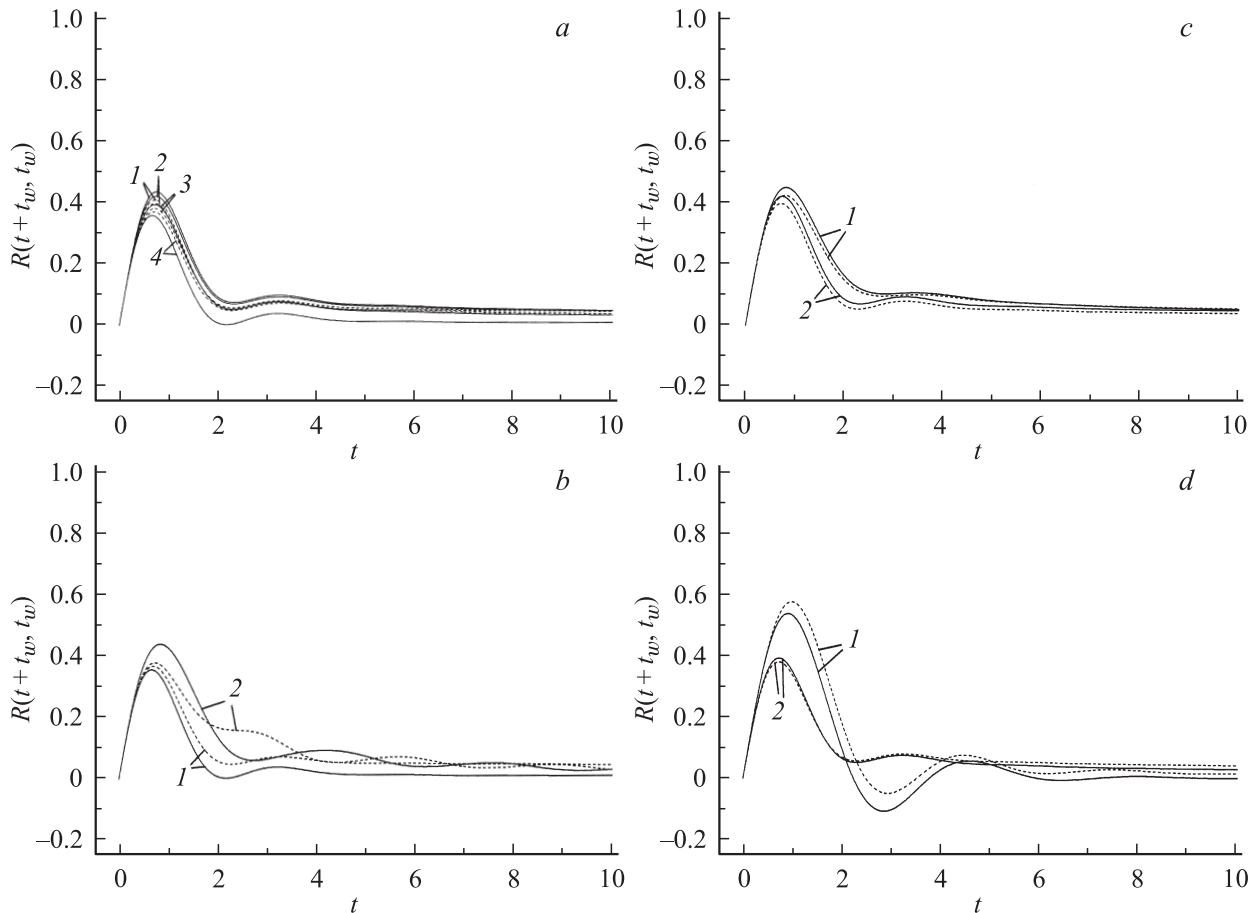


Рис. 2. *a* — зависимость функции отклика $R(t + t_w, t_w)$ от t при различных h_t ($h_t = 0$ — 1, $h_t = 0.5$ — 2, $h_t = 1$ — 3, $h_t = 2$ — 4), t_w ($t_w = 5$ — сплошные линии, $t_w = 10$ — штриховые линии) и для $\alpha = 1$, $\tilde{J} = 1$, $\Gamma = 1$, $T = 0.5$, $\omega_c = 5$, $\omega_0 = 0.1$. *b* — зависимость $R(t + t_w, t_w)$ от t при различных ω_0 ($\omega_0 = 0.1$ — 1, $\omega_0 = 1$ — 2), t_w ($t_w = 5$ — сплошные линии, $t_w = 10$ — штриховые линии) и для $\alpha = 1$, $\tilde{J} = 1$, $\Gamma = 1$, $T = 0.5$, $\omega_c = 5$, $h_t = 2$. *c* — зависимость $R(t + t_w, t_w)$ от t при различных константах спинового взаимодействия \tilde{J} ($\tilde{J} = 0.5$ — 1, $\tilde{J} = 1$ — 2), различных t_w ($t_w = 5$ — сплошные линии, $t_w = 10$ — штриховые линии) и для $\alpha = 1$, $\Gamma = 1$, $T = 0.5$, $\omega_c = 5$, $h_t = 0.5$, $\omega_0 = 0.1$. *d* — зависимость $R(t + t_w, t_w)$ от t при различных константах связи с баней α ($\alpha = 0.2$ — 1, $\alpha = 1$ — 2), t_w ($t_w = 5$ — сплошные линии, $t_w = 10$ — штриховые линии) и для $\tilde{J} = 1$, $\Gamma = 1$, $T = 0.5$, $\omega_c = 5$, $h_t = 1$, $\omega_0 = 0.1$.

от значения амплитуды $h_t = 0.5$ и выше, причем чем больше амплитуда, тем сильнее полевая зависимость. При этом с ростом амплитуды поля значения автокорреляционной функции уменьшаются. На рис. 1, *b* показано влияние частоты внешнего переменного поля на поведение $C(t + t_w, t_w)$, видно, что с ростом угловой частоты ярче проявляется осцилляционный характер кривых.

На рис. 2, *a* показано поведение функции отклика $R(t + t_w, t_w)$ в зависимости от времени t для двух значений времени ожидания: $t_w = 5$ и $t_w = 10$ при различных амплитудах внешнего поля h_t (остальные параметры те же, что и на рис. 1, *a*). Кривая функция отклика $R(t + t_w, t_w)$ быстро возрастает от нулевого значения до значения, меньшего единицы, при малых t . Затем кривая быстро спадает, и наблюдается медленное приближение к ненулевому значению функции, меньшему по сравнению с функцией корреляции. Функция отклика

обнаруживает более слабую полевую зависимость от внешнего переменного поля (по сравнению с полевой зависимостью автокорреляционной функции), которая начинает проявляться при $h_t = 1$ и 2, причем значения функции отклика уменьшается с ростом амплитуды поля при увеличении времени t . Слабее проявляется осцилляционный характер кривых $R(t + t_w, t_w)$ (по сравнению с кривыми $C(t + t_w, t_w)$). На рис. 2, *b* показано влияние частоты внешнего поля на $R(t + t_w, t_w)$, видно, что увеличение частоты практически не влияет на функцию отклика $R(t + t_w, t_w)$.

В спин-стекольной фазе рассмотрим два значения \tilde{J} : $\tilde{J} = 0.5$ и 1. При меньшем значении константы спинового взаимодействия $\tilde{J} = 0.5$ у кривых $C(t + t_w, t_w)$ медленная динамика подавляется быстрее, чем в случае $\tilde{J} = 1$. Уменьшение константы спинового взаимодействия в случае $R(t + t_w, t_w)$ незначительно увеличивает значение функции отклика.

На рис. 1, d и 2, d показано, как влияет величина связи с баней α на $C(t+t_w, t_w)$ и $R(t+t_w, t_w)$. В парамагнитной фазе ($\alpha = 0.2$) поведение кривых $C(t+t_w, t_w)$ и $R(t+t_w, t_w)$ носит осцилляционный характер во круг значений, приближающихся к нулю при больших амплитудах поля. При $\alpha = 1$ кривые $C(t+t_w, t_w)$ и $R(t+t_w, t_w)$ проходят выше нуля, приближаясь к некоторому ненулевому значению, что свидетельствует о спин-стекольной фазе [2]. Поведение кривых $C(t+t_w, t_w)$ и $R(t+t_w, t_w)$ в спин-стекольной фазе ($\alpha = 1$) заметно отличается от поведения в парамагнитной фазе, где осцилляции затрагивают область отрицательных значений.

5. Заключение

Рассмотрим влияние внешнего переменного магнитного поля и влияние окружения (бани квантовых осцилляторов) на неравновесную динамику квантовой системы. Показано, что затухание симметризованной автокорреляционной функции и функции отклика происходит в двух временных режимах (на малых временах и на больших временах). Проанализирована роль спинового взаимодействия, роль связи системы с окружением и внешним полем. Для квантовой системы это сделано впервые. Показано, что, когда система сильнее связана с внешним полем и окружением, релаксация, как видно из рисунков, замедляется по сравнению со случаем более слабой связи с окружением и внешним полем. При этом двухрежимный характер спада автокорреляционной функции и функции отклика остается. Чем сильнее связь с окружением, тем предпочтительнее состояние стекла. Это следует из поведения $C(t+t_w, t_w)$ и $R(t+t_w, t_w)$ при различных α . Наоборот, старение прекращается в сильном поле. Таким образом, квантовые флуктуации, важные при низких температурах, и слабое внешнее осциллирующее поле не нарушают спиновое упорядочение, и эффект старения можно наблюдать в рассматриваемой системе. В отсутствие внешнего переменного поля наши результаты сходны с теоретическими результатами, полученными в [19].

Мы благодарим Л.Ф. Кульяндоло, С. Франца и М.П. Мезарда за любезно предоставленный алгоритм численного метода. Авторы благодарят Отделение физических наук Университета г. Салерно за теплый прием.

Список литературы

- [1] Spin-glasses and random fields / Ed. by A.P. Young. World Scientific, Singapore (1998).
- [2] L.F. Cugliandolo, D.R. Gempel, G. Lozano, H. Lozza, C.A. da Silva Santos. Phys. Rev. **B66**, 014444 (2002).
- [3] M.P. Kennett, C. Chamon, J. Ye. Phys. Rev. **B64**, 224408 (2001).
- [4] A.J. Leggett, S. Chakravarty, A.T. Dorsey, M.P.A. Fisher, A. Garg, W. Zwerger. Rev. Mod. Phys. **67**, 3, 725 (1995).
- [5] G. Busiello, R.V. Saburova, V.G. Sushkova. Solid. Stat. Commun. **123**, 1, 37 (2002).
- [6] Г. Бузиелло, Р.В. Сабурова, В.Г. Сушкова, Г.П. Чугунова. ФММ **95**, 5, 1 (2003).
- [7] L. Berthier, L.F. Cugliandolo, J.L. Iguain. Phys. Rev. **E63**, 051302 (2001).
- [8] L.F. Cugliandolo, J. Kurchan. Phys. Rev. Lett. **71**, 1, 173 (1993).
- [9] H.E. Castillo, C. Chamon, L.F. Cugliandolo, M.P. Kennett. Cond-mat/01112272.
- [10] T.R. Kirkpatrick, D. Thirumalai. Phys. Rev. **B36**, 10, 5388 (1987).
- [11] B. Derrida. Phys. Rev. **B24**, 5, 2613 (1981).
- [12] D.J. Gross, M. Mezard. Nucl. Phys. **B240**, 2, 431 (1984).
- [13] J. Zinn-Justin. Quantum field theory and critical phenomena. Oxford Science Publ., Oxford (1996). 1008 p.
- [14] J. Schwinger. J. Math. Phys. **2**, 3, 407 (1961).
- [15] Л.В. Келдыш. ЖЭТФ **47**, 4, 1515 (1964).
- [16] K. Chou, Z. Su, B. Hao, L. Yu. Phys. Rep. **118**, 1-2, 3 (1985).
- [17] P.C. Martin, E.D. Siggia, H.A. Rose. Phys. Rev. **A8**, 1, 423 (1973).
- [18] R.P. Feynman, F.L. Vernon. Ann. Phys. (N.Y.) **24**, 1, 118 (1963).
- [19] L.F. Cugliandolo, G. Lozano. Phys. Rev. **B59**, 2, 915 (1999).
- [20] H. Sompolinsky, A. Zippelius. Phys. Rev. Lett. **47**, 5, 359 (1981).